

ارائه‌ی رابطه‌ی جدید برای مقایسه‌ی تغییر شکل اطراف تونل در حالت‌های دو بعدی و سه بعدی

محمد حاجی‌عزیزی*

مینا هاشمی (دانشجوی کارشناسی ارشد)

دانشکده‌ی هندسی عمران، دانشگاه رازی، کرمانشاه

مهمنشی عمارت شرف، (ایرانستان) ۱۳۹۶/۱/۲۸-۲۱
دوری ۳-۴، شماره ۱/۱، ص.

به دست آوردن تغییر مکان‌های اطراف تونل، یکی از موضوعات مهم در تونل‌سازی است. در نوشتار حاضر، به کمک روش‌های تفاضل محدود و اجزاء محدود و همچنین داده‌های اندازه‌گیری شده به ارائه‌ی روابطی جدید برای مقایسه‌ی تغییر شکل تونل در حالت‌های دو بعدی و سه بعدی و برای توده‌سنگ‌های سالم و درزه‌دار پرداخته شده است، که نتایج مقاومت آنها قابل توجه است. با توجه به اینکه در بسیاری از تحلیل‌های عددی، مدل‌سازی دو بعدی انجام می‌شود، روابط ارائه شده در نوشتار حاضر می‌تواند منجر به نتایج واقعی شود. مطابق با نتایج حاصل از تحلیل‌های مختلف در توده‌سنگ‌های سالم، مقادیر تغییر مکان اطراف تونل در حالت دو بعدی بزرگ‌تر از حالت سه بعدی است، اما در توده‌سنگ‌های درزه‌دار مقادیر تغییر مکان اطراف تونل در حالت دو بعدی کمتر از حالت سه بعدی است. همچنین نتایج حاصل از پژوهش حاضر، از طریق تونل سد گاوشنان تأیید شده است.

واژگان کلیدی: تونل، تغییر مکان، روش‌های عددی، تحلیل دو بعدی، تحلیل سه بعدی.

mhazizi@razi.ac.ir
minahashemi.1168@gmail.com

۱. مقدمه

روشی مشابه با روش سه بعدی پیشنهاد شده است، که نتایجی نزدیک به آنالیز سه بعدی داشته و نتایج حاصل حاکی از کارآمدتر بودن روش تحلیل سه بعدی نسبت به روش دو بعدی و همچنین کاهش هزینه‌های طراحی بوده است.^[۱] همچنین در سال ۲۰۰۲، رفتار کشسان خمیری دو بعدی و سه بعدی یک پروژه‌ی برق آبی در یکی از مناطق هند با ۴ دهانه‌ی زیرزمینی بررسی شده است.^[۲] مطالعه‌ی (۲۰۰۶) نیز حول مقایسه‌ی تحلیل مدل‌های دو بعدی و سه بعدی با کمک نرم افزار PLAXIS انجام و به مقایسه‌ی نتایج حاصل از آن‌ها پرداخته شده است.^[۳] همچنین نوشتاری در سال ۲۰۰۸، با عنوان آنالیز دو بعدی و سه بعدی دهانه‌های زیرزمینی در توده‌سنگ‌های ناهمگن ارائه شده است، که مربوط به پروژه‌ی سد مسجد سلیمان در جنوب غربی کشور ایران در استان خوزستان بوده است.^[۴] در مطالعه‌ی اندرکنش خاک - سازه (۲۰۱۲) نیز براساس آنالیز اجزاء محدود دو بعدی و سه بعدی به کمک نرم افزار GTS، تونل به صورت فنر و وزن خاک‌ها و سربار اطراف آن به صورت بار وارد بر فنر مذکور مدل و نتایج آنالیز براساس ممان‌های عرضی و نیروی برشی در دال بالا، دیوارها، و دال کف ارائه شده است، که نتایج حاصل عبارت بوده است از:

- در آنالیز اجزاء محدود سه بعدی، مقادیر نیروها و ممان‌ها کمتر از مقادیر آنالیز اجزاء محدود دو بعدی بوده است.

* نویسنده مسئول

تاریخ: دریافت ۱۱/۱/۱۳۹۳، اصلاحیه ۷/۲۲/۱۳۹۴، پذیرش ۷/۲۸/۱۳۹۴.

۲. مدل رفتاری: مدل رفتاری برای سنگ همگن، کشسان خطی و برای توده سنگ‌های ضعیف و ناهمگن، موهر-کولمب در نظر گرفته شده است. مدل موهر-کولمب، یک مدل رفتاری کشسان خمیری کامل است، که سطح تسلیم آن در فضای تنش‌های اصلی ثابت است و تحت تأثیر کرنش قرار ندارند.

۳. شرایط اولیه و مرزی مدل: تنش‌های ثقلی برجا در مدل اعمال می‌شوند. همچنین مرزهای قائم در جهت محور افق و مرز پایین در دو جهت افق و قائم گیردار می‌شوند.

توده سنگ در تحلیل دو بعدی بالمان بندی ۸ گرهی و در حالت کرنش صفحه‌بی مدل می‌شود و برای تحلیل سه بعدی، المان‌های مکعبی در نظر گرفته شده است. شبکه‌بندی و شرایط مرزی برای هر دو حالت دو بعدی و سه بعدی در شکل ۱ ارائه شده است.

مدل‌های دو بعدی و سه بعدی با استفاده از روش اجزاء محدود PLAXIS و تفاضل محدود FLAC ۳D و برای انواع مختلفی از پارامترها از جمله: دامنه‌ی گستردگی از مدل کشسانی، نسبت پواسون، تغییرات شعاع، تغییرات سربار و تغییرات نسبت تنش در مدل رفتاری کشسان انجام شده است.

۱.۱.۲. تأثیر مدل کشسانی در تغییر مکان اطراف تونل

در حالت‌های دو بعدی و سه بعدی با افزایش مدل یانگ، تغییر مکان اطراف تونل کاهش می‌یابد. در تحلیل‌های انجام شده برای بررسی تغییر مکان‌ها در اثر تغییرات مدل یانگ، از ۱۱ مقدار مختلف استفاده شده است. همچنین بررسی‌ها برای نقاط معین و مدل سازی‌های مذکور نیز برای نسبت تنش‌های مختلف انجام شده است (در مدل سازی‌ها، مقدار نسبت تنش: بزرگ‌تر کوچک‌تر، و مساوی ۱ در نظر گرفته شده است).

مطابق شکل ۲، هم در حالت دو بعدی و هم در حالت سه بعدی با افزایش مدل کشسانی، تغییر مکان کاهش یافته است؛ زیرا با افزایش مدل کشسانی، مقاومت توده سنگ افزایش یافته است. اگرچه نمودار برای هر دو حالت دو بعدی و سه بعدی تقریباً بر هم منطبق است، ولی مطابق با معادله‌ی ارائه شده برای هر یک، تغییر مکان برای حالت دو بعدی با شیب بیشتری کاهش می‌یابد، که بدین دلیل است که در حالت سه بعدی قسمت حفاری شده‌ی جلوی جبهه‌ی کار با افزایش مدل کشسانی مقاومت بیشتری پیدا می‌کند، و در واقع عهده‌دار تحمل مقداری از تغییر شکل‌ها می‌شود.

با جمع‌بندی موارد ذکر شده می‌توان شکل ۳ را برای ارتباط بین تغییر مکان‌های دو بعدی و سه بعدی پیش‌نماید کرد.

با توجه به شکل ۳ مشاهده می‌شود که تغییر مکان اطراف تونل در حالت دو بعدی بیش از حالت سه بعدی است.

۱.۲. بررسی تغییرات نسبت پواسون و تغییر مکان اطراف تونل در حالت دو بعدی و سه بعدی

در شکل ۴، تغییرات نسبت پواسون و تغییر مکان اطراف تونل ترسیم شده است. با افزایش ضریب پواسون، مقدار تغییر مکان در حالت‌های دو بعدی و سه بعدی در اطراف تونل بیشتر شده است. این مدل سازی برای ۹ مقدار متفاوت نسبت پواسون: ۰,۲، ۰,۵، ۰,۲۵، ۰,۳۳، ۰,۳۰، ۰,۲۷، ۰,۲۵، ۰,۴۰ و ۰,۴۴ انجام شده است.

همان‌طور که در شکل ۴ مشاهده می‌شود، در اثر افزایش نسبت پواسون مقدار تغییر مکان هم در حالت دو بعدی و هم در حالت سه بعدی بیشتر شده است. ولی مقدار تغییر مکان برای حالت دو بعدی بیشتر از سه بعدی است، که این موضوع اشاره به تأثیر وجود قسمت حفاری شده و تأثیر آن در تغییر مکان سه بعدی دارد، چرا که هر

۲. سازه‌های زیرزمینی می‌توانند با دقت بالاتر و اطمینان بیشتر توسط اجراء محدود سه بعدی طراحی شوند.

در واقع، رفتار تنش‌ها و تغییر مکان‌های اطراف تونل به صورت سه بعدی بوده است. بنابراین مطلوب آن است که روش‌های سه بعدی برای تحلیل رفتار تونل مورد توجه قرار گیرد، اگرچه بسیاری از تحلیل‌ها در حالت دو بعدی انجام می‌گیرد. عدمه ترین بخش‌هایی که در یک سازه‌ی زیرزمینی برای تحلیل سه بعدی ضروری‌تر است، قسمت‌های ورودی، تقاطع‌ها، وجبهه‌ی کار تونل هستند. با توجه به محدودیت‌های روش‌های تحلیلی در هندسه‌های پیچیده و شرایط مرزی، روش‌های عددی و اندازه‌گیری‌های محلی، راه حل‌های مناسبی برای تحلیل رفتار تنش - کرنش هستند.^[۲] در مطالعات عددی، رفتار مصالح به صورت کشسان (ایزوتربوپیک یا غیرایزوتربوپیک)، کشسان خمیری، ویسکو-کشسان در نظر گرفته می‌شود. جابه‌جایی‌های کشسان در حالت کرنش صفحه‌بی، که در اطراف یک تونل دایره‌بی اتفاق می‌افتد، طبق رابطه‌ی ۱،^[۴] تعریف می‌شوند:

$$u_r = -\frac{p_v R^*(1+v)}{2Er} \left\{ \frac{(1+K)}{(1-K)} - \frac{R^*}{4(1+v)} \cos 2\theta \right\} \quad (1)$$

که در آن، u_r جابه‌جایی شعاعی تونل، p_v مؤلفه‌ی عمودی تنش برجای اصلی، K نسبت تنش برجای افقی به قائم و v به ترتیب نسبت پواسون و مدل کشسانی هستند. در مطالعه‌یی در سال ۲۰۰۳^[۲] برای یک تونل دایره‌بی در محیط کشسان و همگن با استفاده از نرم افزار تفاضل محدود FLAC ۳D^[۴] رابطه‌ی ۲ برای تغییر مکان‌های اطراف تونل پیشنهاد شده است:

$$\frac{u_r}{u_{r\infty}} = \left\{ 1 - \left[\frac{0,39v + 0,65}{0,39v + 0,65 + \frac{x}{R}} \right]^2 \right\} \quad (2)$$

که در آن، x فاصله از جبهه‌ی کار تونل و $u_{r\infty}$ جابه‌جایی شعاعی کشسان نهایی که در فاصله‌ی دوری از جبهه‌ی کار اتفاق می‌افتد و از رابطه‌ی ۳ محاسبه می‌شود:

$$u_{r\infty} = \frac{P_v R (1+v)}{E} \quad (3)$$

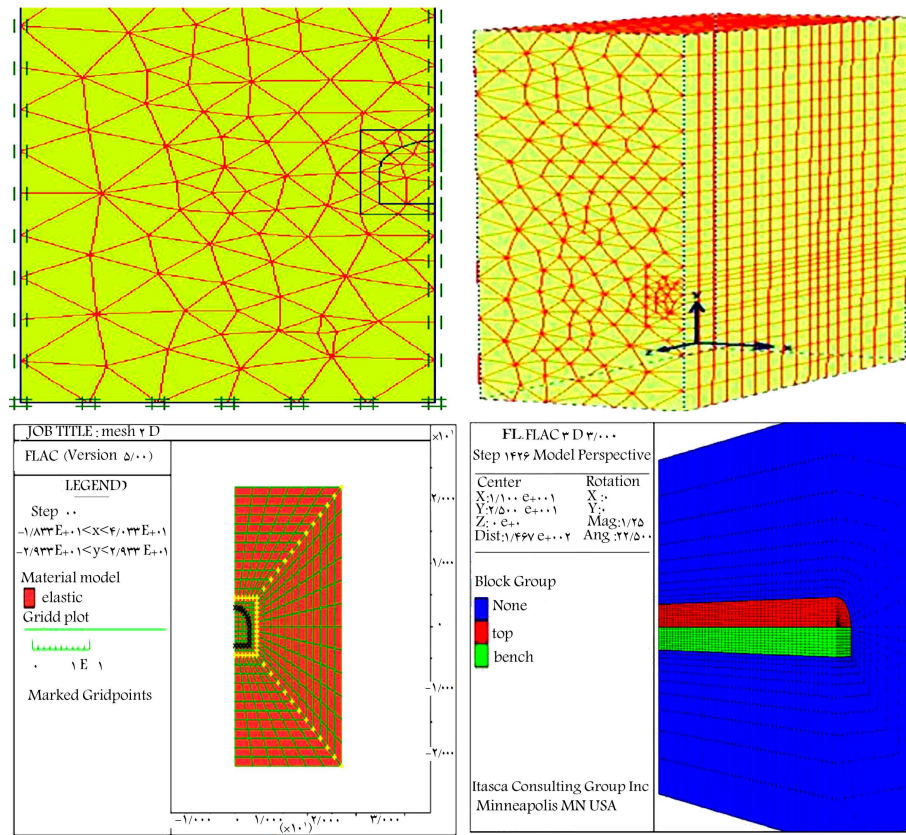
در نوشتار حاضر، روابطی جدید برای ارتباط بین تغییر مکان‌های دو بعدی و سه بعدی در توده سنگ‌های سالم و ضعیف ارائه شده است، تا بتوان در تحلیل‌های دو بعدی، مقدار تغییر مکان‌های واقعی را پیش‌بینی کرد، که همان تغییر مکان سه بعدی است.

۲. مدل سازی و تحلیل عددی

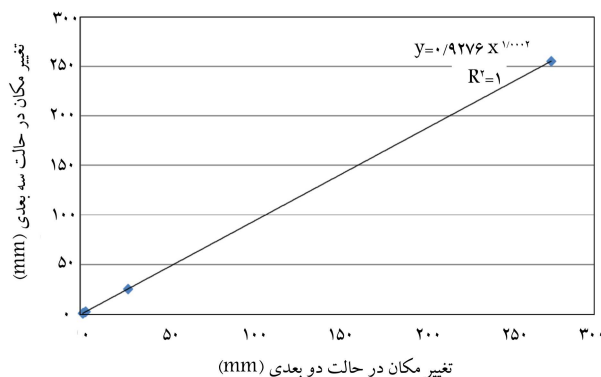
۲.۱. مقایسه‌ی تغییر مکان در توده سنگ‌های بدون درزه و یا با درزه‌های خیلی کم

مدل سازی به کار گرفته شده در این بخش، مطابق با این مراحل انجام شده است:

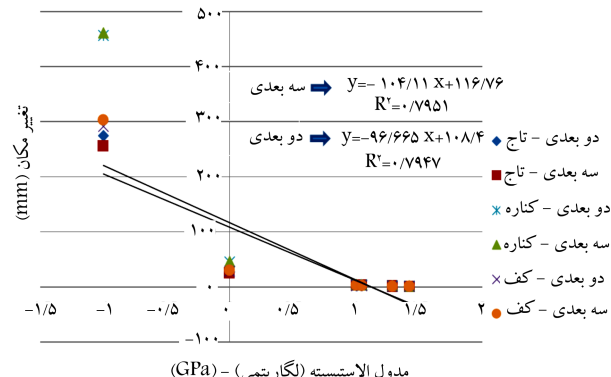
۱. ابعاد هندسی مدل: با توجه به اینکه اگر ابعاد مدل بیش از حدود ۵ برابر شعاع تونل باشد، تأثیر شرایط مرزی در نتایج به میزان کمینه‌ی ممکن می‌رسد، ابعاد هندسی مدل برای تونل مورد بررسی ۴۴ × ۴۴ متر انتخاب و بقیه‌ی سربار به صورت با مرده بر سطح مدل در نظر گرفته شده است.



شکل ۱. شبکه‌بندی و شرایط مرزی در حالت‌های دو بعدی و سه بعدی تضالل محدود و اجزاء محدود.



شکل ۳. رابطه‌ی بین تغییرمکان در حالت‌های دو بعدی و سه بعدی به ازاء مدول‌های کشسانی مختلف.

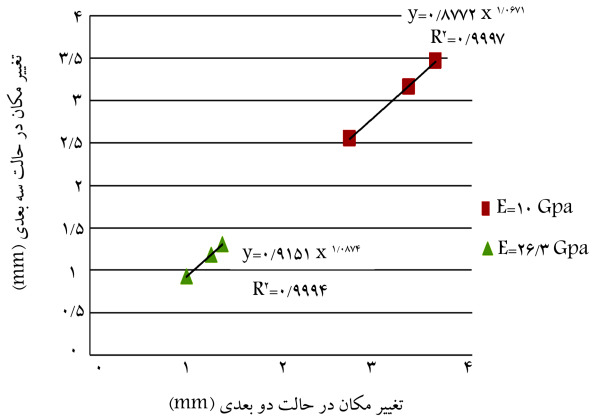


شکل ۲. اثر تغییرات مدول کشسانی در تغییرمکان اطراف تونل در حالت‌های دو بعدی و سه بعدی.

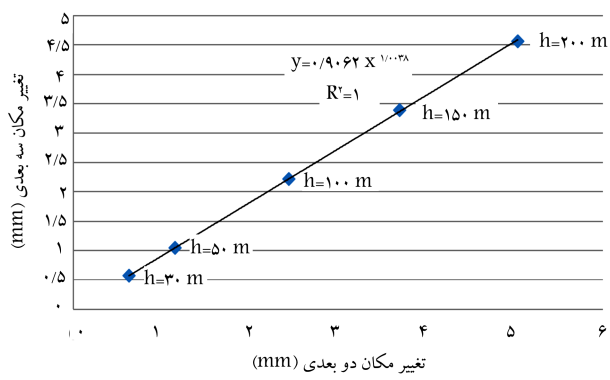
تندتری اتفاق افتاده است. در کناره‌ی تونل با افزایش k مقدار تغییرمکان بیشتر شده است، زیرا در تاج تنش افقی بیشتر و در کناره‌ها تنش قائم بزرگ‌تر است. در رابطه‌ی آنلوگریک^[2]، تنش اعمال شده به صورت هیدرواستاتیک بوده است، ولی در نوشтар حاضر نسبت تنش‌ها علاوه بر 1 ، برای مقادیر کمتر و بیشتر از 1 نیز در نظر گرفته شده است. همچنین تحلیل‌های لازم برای نسبت‌های مختلف K (۱/۷، ۱/۱، ۰/۷) به ازاء مقادیر مختلف مدول کشسانی انجام شده است. با جمع‌بندی نتایج حاصل از تغییرات نسبت تنش در حالت‌های دو بعدی و سه بعدی، نمودار تغییرات تغییرمکان اطراف تونل در حالت‌های دو بعدی و سه بعدی در شکل ۷ ارائه شده است، که مطابق آن مقدار تغییرمکان در حالت دو بعدی بیش از حالت سه بعدی است.

چه از جبهه‌ی کاردورتر و به حالت کرنش صفحه‌ی نزدیک ترمی شویم، شبیه خط‌ها بیشتر می‌شود و تغییر نسبت پواسون اثرکنتری در تغییرات کل های نزدیک جبهه‌ی کار تونل خواهد داشت. رابطه‌ی بین تحلیل‌های دو بعدی و سه بعدی در اثر تغییرات نسبت پواسون در شکل ۵ قابل مشاهده است، که مطابق آن، مقدار تغییرمکان دو بعدی برای توده‌سنگ‌های سالم و یا با درزه‌ی کم بیش از مقدار تغییرمکان سه بعدی است.

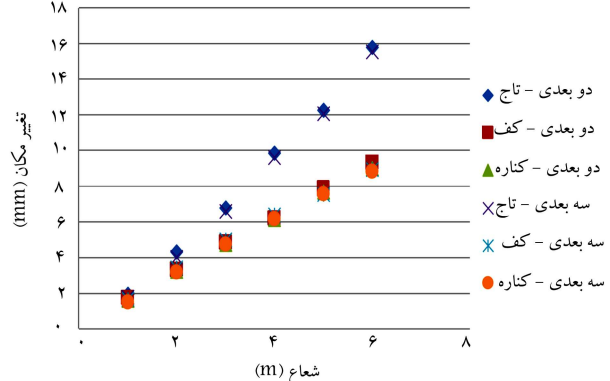
۳.۱.۲. بررسی تغییرات نسبت تنش و تغییر مکان اطراف تونل در حالت‌های دو بعدی و سه بعدی همان طور که در شکل ۶ مشاهده می‌شود، با افزایش نسبت تنش افقی به قائم، تغییرمکان تاج کاهش یافته است، ولی این کاهش در حالت سه بعدی با شبیه



شکل ۷. رابطه‌ی تغییر مکان در حالت‌های دو بعدی و سه بعدی در اثر تغییرات نسبت نتش افقی به قائم.



شکل ۸. تغییرات تغییر مکان در حالت‌های دو بعدی و سه بعدی در سر برآهی مختلف.



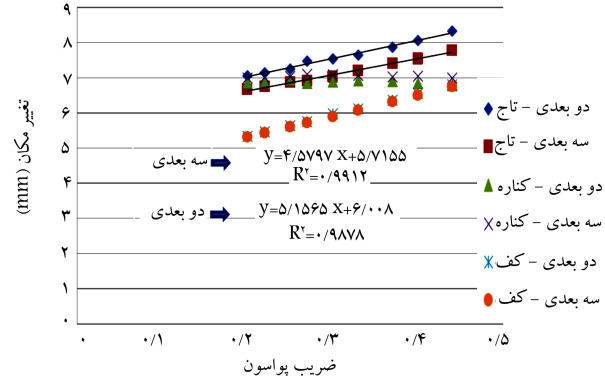
شکل ۹. تأثیر تغییرات شعاع در تغییر مکان های اطراف تونل در حالت های دو بعدی و سه بعدی.

تغییرات شعاع تونل دایره‌بی در حالت‌های دو بعدی و سه بعدی مشاهده می‌شود. مطابق شکل ۹، هر چه قطر تونل بزرگ‌تر باشد، تفاوت تغییر شکل‌های دو بعدی و سه بعدی بیشتر می‌شود. در شکل ۱۰، ارتباط تغییرات تغییر مکان اطراف تونل در حالت‌های دو بعدی و سه بعدی برای قطرهای مختلف تونل دایره‌بی مشاهده می‌شود.

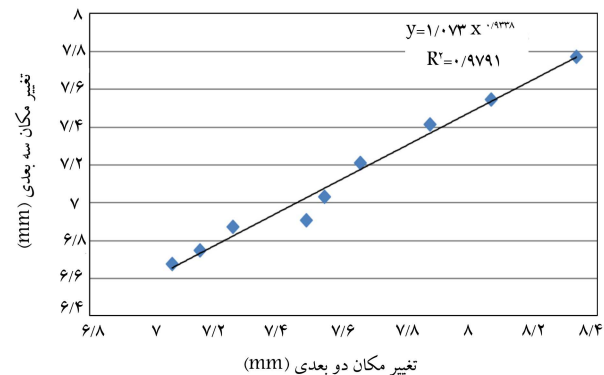
مطابق شکل ۱۰، مقدار تغییر مکان دو بعدی بیش از تغییر مکان سه بعدی است.

۶.۱.۲ جمع‌بندی تحلیل‌های انجام شده برای توده‌سنگ‌های سالم و یا با درزه‌ی کم

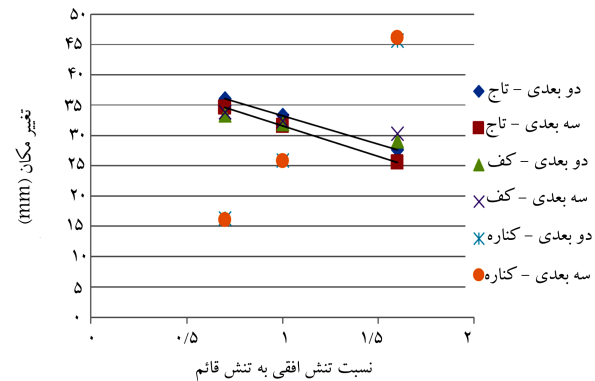
طبق تحلیل‌های انجام شده در حالت‌های دو بعدی و سه بعدی (که در بخش‌های اخیر



شکل ۴. اثر تغییرات نسبت پواسون در تغییر مکان اطراف تونل در حالت های دو بعدی و سه بعدی.



شکل ۵. رابطه‌ی بین مقدار تغییر مکان های دو بعدی و سه بعدی در اثر تغییرات ضریب پواسون.



شکل ۶. اثر تغییرات نسبت نتش در تغییر مکان اطراف تونل.

۴.۱.۲ اثر تغییرات ارتفاع سر برآر در تغییر مکان اطراف تونل در حالت های دو بعدی و سه بعدی

شکل ۸، تغییرات تغییر مکان اطراف تونل را در حالت های دو بعدی و سه بعدی ناشی از تغییرات ارتفاع سر برآر نشان می‌دهد، که مطابق آن مقدار تغییر مکان دو بعدی بیش از سه بعدی است.

۴.۱.۳ بررسی تغییرات قطر تونل و تغییر مکان اطراف تونل در حالت های دو بعدی و سه بعدی

برای بررسی تأثیر شعاع تونل در تغییر مکان های رخداده در اطراف تونل به ازاء شعاع مختلف مدل سازی انجام شده است. در شکل ۹، رابطه‌ی بین تغییر مکان و

جدول ۱. مقایسه‌ی نتایج عددی پیشین با نتایج رابطه‌ی پیشنهادی در پژوهش حاضر و تحلیل عددی انجام شده.

تغییرمکان (میلی متر)	تغییرمکان در آنالیز عددی با رابطه‌ی ۱	رابطه‌ی ۲	رابطه‌ی ۳	رابطه‌ی ۴	FLAC ۳D سه بعدی (میلی متر)
۱۲,۰۷	۱۱,۳۲	۹,۰۷	۹,۳۴	۱۱,۳۲	۹,۰۷
					۹,۳۴

۲. بررسی تغییرمکان اطراف تونل در توده‌سنگ‌های ضعیف و درزه‌دار

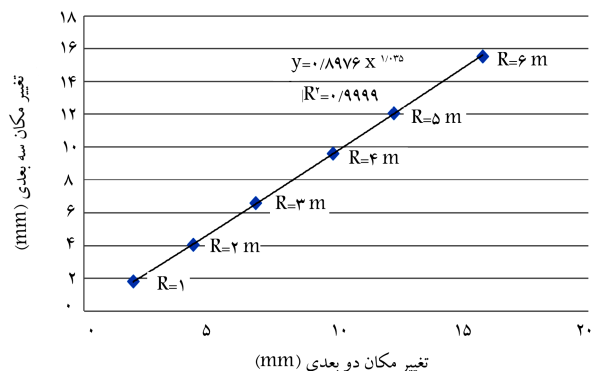
عموماً توده‌سنگ‌ها به صورت پیوسته، همگن، ایزوتrop و کشسان خطی نیستند. برای تحلیل رفتار توده‌سنگ‌ها به علت درزه و شکاف فراوان، از تئوری محیط‌های ناپیوسته می‌توان استفاده کرد. اما به علت وجود ضعف ساختاری، تعیین موقعیت، ابعاد، و خواص مکانیکی همه‌ی درزه‌ها غیرممکن به نظر می‌رسد. لذا عمل‌آ روش تحلیل محیط‌های ناپیوسته برای تحلیل رفتار این نوع محیط‌ها کاربرد عملی نخواهد داشت. با توجه به اینکه توده‌سنگ‌های مذکور تا حدی شبیه به محیط‌های پیوسته رفتار می‌کنند، لذا از تئوری محیط‌های پیوسته برای تحلیل رفتار آن‌ها می‌توان استفاده کرد.^[۱۰] ناپیوستگی‌ها و درزه‌ها تأثیر اساسی در طراحی و ساخت فضاهای بزرگ زیرزمینی دارند. طی بررسی مدل‌سازی‌هایی که برای محیط سنگی ضعیف و درزه‌دار و ناهمنگ با معیار موهر - کولمب در قطراهای مختلف انجام شده است و همچنین داده‌های اندازه‌گیری شده‌ی محلی در ادبیات تغییرشکل تونل و جمع‌بندی‌های انجام شده در این زمینه، می‌توان رابطه‌ی ۵ را مطابق با داده‌های شکل ۱۲ برای این توده‌سنگ‌ها ارائه داد و برای به دست آوردن نموادر داده‌های مذکور، از چند مدل مختلف که در آن‌ها مقدار چسبندگی و نسبت پواسون و قطر تغییر کرده، استفاده شده است. در ادامه، به ادبیات اندازه‌گیری‌های محلی پرداخته شده است.

در سال ۲۰۰۰، مطالعه‌یی بر روی چند دهانه‌ی زیرزمینی انجام شده و توده‌سنگ مورد حفاری ضعیف فرض شده است. مقایسه‌یی بین تغییرمکان‌ها در حالت‌های دو بعدی و سه بعدی با کمک برنامه‌ی اجزاء محدود انجام شده است.^[۱۱] در پژوهش حاضر از داده‌های حاصل از اندازه‌گیری‌های محلی برخا در نوشتار حاضر استفاده شده است.

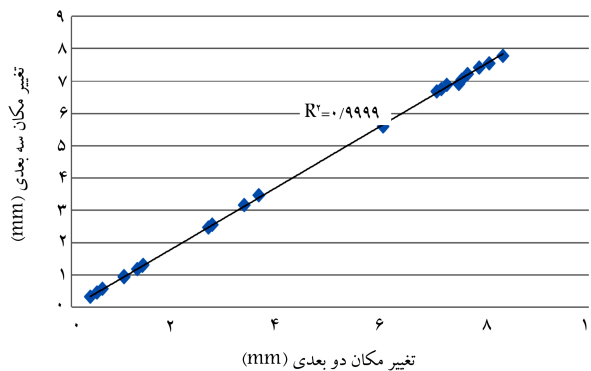
در سال ۲۰۰۶، تغییرشکل‌های محلی تونل دو قلوی بلو در ترکیه با استفاده از کرنش‌سنج‌های محلی اندازه‌گیری شده است.^[۱۲] تونل مذکور در پژوهش حاضر با استفاده از نرم‌افزار PLAXIS دو بعدی مدل‌سازی شده است، که می‌توان بین نتایج دو بعدی و اندازه‌گیری محلی که در حالت سه بعدی است، ارتباط برقرار کرد. پژوهش دیگری که از نتایج آن در پژوهش حاضر استفاده شده است، مقایسه‌ی تحلیل پایداری عددی دو بعدی و سه بعدی با مطالعه‌یی موردي تونل در سال ۲۰۰۵ است.^[۱۳] با جمع‌بندی نتایج دو بعدی و اندازه‌گیری‌های محلی، ارتباط بین آن‌ها را می‌توان به صورت شکل ۱۲ نشان داد. در نتیجه ارتباط بین تغییرشکل‌های دو بعدی و سه بعدی را می‌توان مطابق با رابطه‌ی ۵ در توده‌سنگ‌های درزه‌دار و ضعیف پیشنهاد کرد.

$$U_{2D} = 2,5 U_{3D}^0 \quad (5)$$

مطابق شکل ۱۲ مشاهده می‌شود که برای توده‌سنگ‌های ضعیف و درزه‌دار، تغییرمکان‌ها در حالت سه بعدی بیشتر از حالت دو بعدی است.



شکل ۱۰. رابطه‌ی تغییرمکان‌های دو بعدی و سه بعدی در شعاع‌های مختلف تونل.



شکل ۱۱. جمع‌بندی تغییرات تغییرمکان اطراف تونل در حالت‌های دو بعدی و سه بعدی.

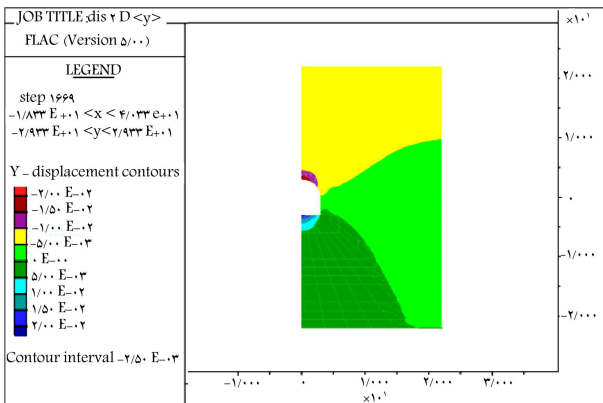
توضیح داده شده است)، نتایج تمام مدل‌سازی‌ها در نسبت پواسون‌های مختلف و مدول‌های کشسانی متفاوت و قطراهای مختلف و سربارهای متفاوت در شکل ۱۱ جمع‌بندی شده است.

بنابراین رابطه‌ی ۴ را می‌توان برای ارتباط بین تغییرمکان‌های دو بعدی و سه بعدی برای توده‌سنگ‌های سالم و یا با درزه‌ی کم پیشنهاد کرد:

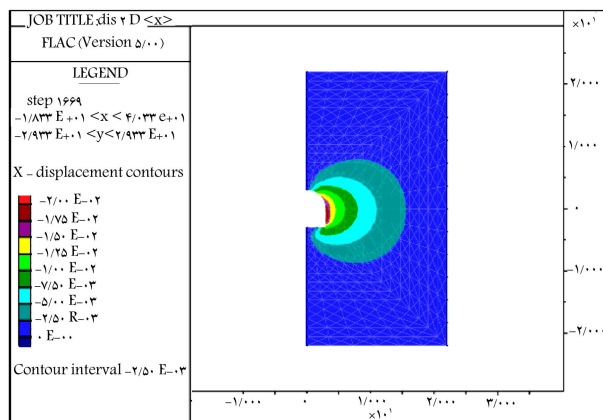
$$U_{2D} = 0,92 U_{3D}^{1,0008} \quad (4)$$

مطابق رابطه‌ی مذکور، تغییرمکان‌ها در حالت دو بعدی بیشتر از حالت سه بعدی است، زیرا وقتی تحلیل به صورت سه بعدی در نظر گرفته می‌شود، بخشی از تغییرمکان‌های رخ داده در اطراف تونل را قسمت حفاری‌نشده‌ی جلوی جبهه‌ی کار که خصوصیات مکانیکی و مقاومتی بالایی دارد، متحمل می‌شود؛ ولی برای حالت دو بعدی که محیط نامحدود در نظر گرفته می‌شود، این ویژگی وجود ندارد و مقدار تغییرمکان بیشتر است، و علت اندک‌بودن این اختلاف در حالت‌های دو بعدی و سه بعدی، ماهیت کشسانی بودن و سخت و قوی بودن رفتار سنگ است، که تأثیر پیشروی سینه‌ی کار خیلی در آن محسوس نیست.

به جهت صحت‌ستجی رابطه‌ی پیشنهادی در پژوهش حاضر، روابط ۱ و ۲ با نتایج به دست آمده از رابطه‌ی ۴ مقایسه شده‌اند. روابط ۱، ۲ و ۴ روابطی هستند که تغییرمکان را برای حالت کشسان محاسبه می‌کنند. برای مقایسه‌ی نتایج هر یک از روابط مذکور، تونلی به شعاع ۵ متر که در محیط هیدرواستاتیکی با ارتفاع سربار ۲۵۰ متر، مدول یانگ و ضریب پواسون که به ترتیب ۴,۶ گیگاپاسکال و ۰,۳ هستند، در نظر گرفته شده‌اند. نتایج حاصل از روابط ۱ و ۲ و ۴ و نتیجه‌ی حاصل از تحلیل سه بعدی برنامه‌ی FLAC ۳D در جدول ۱ ارائه شده است.



شکل ۱۳. تغییر مکان های قائم برای حالت دو بعدی در آنالیز کشسان خمیری.



شکل ۱۴. تغییر مکان های افقی برای حالت دو بعدی در آنالیز کشسان خمیری.

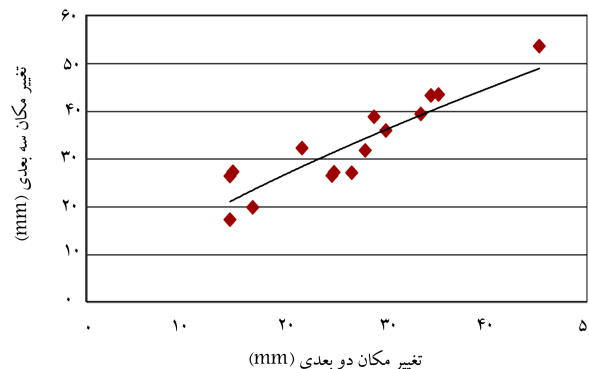
حال با توجه به رابطه پیشنهادی در پژوهش حاضر (رابطه ۵)، مقدار تغییر مکان در حالت سه بعدی محاسبه شده است. مثلاً برای تغییر مکان تاج تونل با استفاده از رابطه ۵ خواهیم داشت:

$$U_{2D} = 2,5U_{2D}^{0,8} = 2,5 \times (20,317)^{0,8} = 27,81 \text{ mm}$$

همچنین تغییر مکان در جهت افقی برای کناره تونل و تغییر مکان قائم برای کف تونل به ترتیب $26,82$ و $29,05$ میلی متر است. نتایج مدل سازی در نرم افزار ۳D FLAC برای تونل موردنظر در شکل ۱۵ قبل مشاهده است. مطابق شکل ۱۵، در مقطع موردنظر بررسی که به اندازه کافی و بیش از $2,5$ برابر قطر تونل از جبهه فاصله دارد، مقدار تغییر مکان $26,65$ میلی متر و برای کف تونل این تغییر مکان به اندازه $27,12$ میلی متر است، که با توجه به فرمول پیشنهادی مشاهده می شود که با خطای کمتر از 8% جواب مطلوب حاصل شده است. مطابق جدول ۴، بین نتایج پژوهش و تحلیل عددی انجام شده با استفاده از نرم افزار ۳D FLAC اختلاف اندکی وجود دارد.

جدول ۳. جایه جایی های به دست آمده در سقف و دیواره تونل در حالت های دو بعدی و سه بعدی در آنالیز کشسان خمیری.

موقعیت	تحلیل	دو بعدی	سه بعدی	شبیه سه بعدی
تغییر مکان با نرم افزار PLAXIS (میلی متر)	تغییر مکان با نرم افزار ۳D FLAC (میلی متر)	۲۱,۳۵	۲۲,۸۸	۲۳,۷۶۹
تغییر مکان با نرم افزار ۳D FLAC (میلی متر)	تغییر مکان با نرم افزار PLAXIS (میلی متر)	۲۰,۳۱۷	۱۹,۴۱۴	۲۱,۴۵۵



شکل ۱۲. رابطه بین مدل سازی های دو بعدی و سه بعدی با استفاده از اندازه گیری های برجا و مدل های عددی.

جدول ۲. مشخصات توده سنگ مورد حفاری در تونل سد گاوشن.

Φ	C	K	G	v	E
(درجه)	(Mpa)	(Mpa)	(Mpa)		(Mpa)
۳۳,۵	۰,۷۱۷	۳۸۴,۰۸	۱۷۷۲,۷	۰,۳	۴۶۰۹

۳. مثال: مطالعه موردی - تونل سد گاوشن

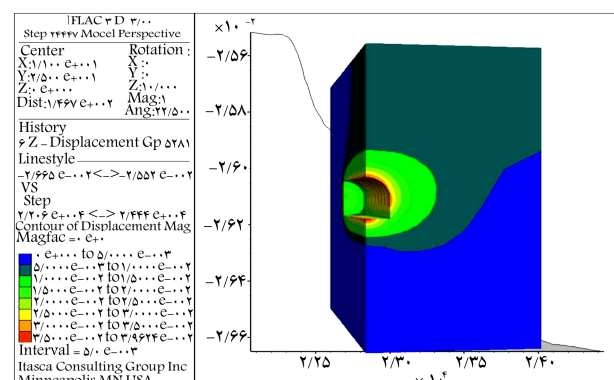
سد مخزنی گاوشن در استان کردستان، با گنجایش مخزن 550 میلیون مترمکعب و تونل انتقال آب و نیروی برق آبی به ظرفیت 11 مگاوات احداث شده است. جهت صحبت سنجی نتایج پژوهش مذکور و روابط پیشنهادی در پژوهش حاضر، تونل سد گاوشن با مشخصات ذکر شده در جدول ۲ در حالت های دو بعدی و سه بعدی با نرم افزارهای ۳D FLAC و PLAXIS، در تحلیل کشسان خمیری بررسی شده است. مقطع موردنظر تونل، که براساس مشخصات کلی تونل انتقال آب سد گاوشن است، در عمق تقریبی 25 متر و به صورت نعل اسیبی است، که شعاع قسمت منحنی آن 3 متر و ارتفاع قسمت مستطیلی آن نیز 3 متر است. تنش های عمودی با توجه به وزن روباره محاسبه شده اند. در نهایت، مقدار $1/6$ برای نسبت تنش در این منطقه انتخاب شده است.

با استفاده از نرم افزارهای ۳D FLAC و PLAXIS، مقادیر تغییر مکان برای تونل موردنظر در حالت های دو بعدی و سه بعدی محاسبه و نتایج در جدول ۳ ارائه شده است.

جهت صحبت سنجی نتایج تحلیل دو بعدی از تحلیل شبیه سه بعدی استفاده و با توجه به نزدیک بودن نتایج به حالت دو بعدی، نتایج تحلیل موردنظر تأیید شده است. در شکل های ۱۳ و ۱۴، مقدار تغییر مکان قائم و افقی، در حالت دو بعدی در نرم افزار ۳D FLAC نشان داده شده است. در ادامه، برای پیدا کردن جایه جایی در مدل سازی سه بعدی، از روابط پیشنهادی پژوهش حاضر استفاده شده است. سپس جهت صحبت سنجی نتایج حاصل، مدل سازی سه بعدی با کمک نرم افزار ۳D FLAC انجام شده است.

در توده‌سنگ به دقت مورد بررسی قرار گیرد. در پژوهش حاضر، تحلیل‌های دوبعدی و سه‌بعدی به کمک برنامه‌های رایانه‌یی تفاضل محدود FLAC 3D و اجزاء محدود PLAXIS برای بررسی اثر پارامترهای مختلف در محیط‌های سنگی سالم و ضعیف در تغییرمکان‌های اطراف تونل انجام شده است.

از مقایسه‌ی تحلیل‌های انجام شده در حالت‌های دوبعدی و سه‌بعدی مشاهده می‌شود که در توده‌سنگ‌های سالم، تغییرمکان در حالت دوبعدی بیشتر از حالت سه‌بعدی است. این بدين علت است که در توده‌سنگ‌های بدون درزه، مقاومت بعد سوم سنگ، عامل مؤثری در کاهش تغییرمکان اطراف تونل می‌شود. ولی در توده‌سنگ‌های ضعیف و درزه‌دار بعد سوم سنگ به عنوان نقش منفی در کاهش تغییرمکان اطراف تونل نسبت به حالت دوبعدی است. اگرچه مبنای بسیاری از تحلیل‌ها در حالت دوبعدی است، اما توجه به نتایج سه‌بعدی و اعمال اثر سه‌بعدی، منجر به نتایج واقعی و قابل اعتماد خواهد شد، که می‌توان از روابط پیشنهادی در نوشتار حاضر استفاده کرد. به همین منظور دو رابطه برای مرتبه‌کردن تغییرمکان‌های دوبعدی و سه‌بعدی در توده‌سنگ‌های سالم و درزه‌دار پیشنهاد شده است، که می‌توان با انجام تحلیل دوبعدی، تغییرمکان‌های سه‌بعدی را تقریب زد. به منظور صحبت‌سنجدی روابط پیشنهادشده، تونل انحراف آب سد گاوشنان در استان کردستان بررسی شده است. تغییرمکان تاج تونل در تحلیل دوبعدی برابر $20/317$ میلی‌متر شده است. با استفاده از رابطه‌ی پیشنهادی در نوشتار حاضر، برای توده‌سنگ‌های درزه‌دار، مقدار تغییرمکان تاج تونل در حالت سه‌بعدی برابر با $27/81$ میلی‌متر بدست آمده است، که در حدود $4/4\%$ با نتایج حاصل از تحلیل عددی سه‌بعدی اختلاف دارد. تغییرمکان تاج تونل در تحلیل عددی سه‌بعدی برابر با $26/65$ میلی‌متر شده است. بنابراین روابط پیشنهادی می‌توانند علاوه بر کاهش هزینه‌های محاسباتی، منجر به نتایج واقعی شوند.



شکل ۱۵. تغییرمکان‌های قائم برای حالت سه‌بعدی در آنالیز کشسان‌خمیری.

جدول ۴. نتایج تغییرمکان‌ها در آنالیز عددی و نتایج حاصل از پژوهش حاضر در نقاط شاخص تونل.

موقعیت نقاط شاخص	نتایج تحلیل عددی با کمک FLAC 3D (میلی‌متر)	رابطه‌ی پیشنهادی
تاج	۲۷,۸۱	۲۶,۶۵
کناره	۲۶,۸۲	۲۲,۸۷
کف	۲۹,۰۵	۲۷,۱۲

۴. نتیجه‌گیری

ایجاد تونل‌های زیرزمینی، تغییرات قابل ملاحظه‌ی در تشنهای توده‌سنگ ایجاد می‌کند، به همین دلیل برای رسیدن به پایداری ضروری است تا تشنهای و تغییرشکل‌ها

منابع (References)

- Hajiazizi, M. and Khatami, R.S. "Seismic analysis of the rock mass classification in the Q-system", *International Journal of Rock Mechanics & Mining Sciences*, **62**, pp. 123-130 (2013).
- Unlu, T. and Gercek, H. "Effect of Poisson's ratio on the normalized radial displacements occurring around the face of a circular tunnel", *Tunnelling and Underground Space Technology*, **18**(5), pp. 547-553 (2003).
- Pariseau, W.G. and Sorensen, W. K. "3D mine pillar design information from 2D FEM analysis", *International Journal For Numerical And Analytical Methods In Geomechanics*, **3**(2), pp. 145-157 (1979).
- Dhawan, K.R., Singh, D.N. and Gupta, I.D. "2D and 3D finite element analysis of underground openings in an inhomogeneous rock mass", *International Journal of*
- ÜÇER, S. "Comparison of 2D and 3D finite element models of tunnel advance in soft ground, a case study on bolu tunnels", A Thesis Submitted to the Graduate School of Natural and Applied Sciences of Middle East Technical University (2006).
- Ahmadi, M., Goshtasbi, K. and Ashjari, R. "2-D And 3-D analyses of underground openings in an inhomogeneous rock mass", *Iranian Journal of Science & Technology, Transaction of Civil Engineering (IJSTC)*, **32**(2), pp. 161-166 (2008).
- Liaqat, A., Qureshi, K. and Tahir, V. "Comparison of 2D & 3D finite element analysis of tunnels based on soil-structure interaction using GTS", *14th International Conference on Computing in Civil and Building Engineering* (2012).

8. Brady, B.H.G. and Brown, E.T., *Rock Mechanics for Underground Mining*, 2ed Chapman and Hall, London (1993).
9. Itasca Consulting Group, Inc., *FLAC 3D, Fast Lagrangian Analysis of Continua in 3 Dimensions*, Version 4, User's Manual (2010).
10. Olyaei, M. and Naeimifar, O. "Evaluation of nonlinear behavior of circular tunnels under static and dynamic loading", *Civil Engineering Sharif*, 2-29(4), pp. 45-53 (2013).
11. Dehghani Moghadam, M. and Ahmadi, M. "Design and stability analysis of railway tunnels Shibly", Ms Thesis, University of Tarbiat Modares (2005).